

表面に剪断力を受ける粘弾性板の三次元解析

○ 札幌工業大学 正員 大島 俊之  
 工科大学部 正員 能町 純雄

1. まえがき

粘弾性体の解析は広くは多く研究がなされてきているが、大別すると時間に関して積分変換する手法<sup>(1),(2)</sup> (Laplace変換, Fourier変換など)と時間微分を差分化する手法<sup>(3),(4)</sup>がある。また応力歪履歴<sup>(5),(6),(7)</sup>による弾性解析と対応原理<sup>(8)</sup>から, Faltung定理により履歴の影響を考慮する手法と有限要素法<sup>(9),(10)</sup>の応用にみられる様に、荷重増分法により逐次追跡する手法<sup>(11),(12)</sup>に大別される。

Laplace変換を用いる場合は時間に対して境界条件が変化しないものに限定される他、一般化したLaplace逆変換を用いる場合には、Laplace逆変換が複雑な形となり、一般形として解けるものがないという点で数値逆変換が提案されてきている。<sup>(8),(9),(10)</sup> また応力とひずみの関係を表す緩和弾性率を長い時間領域内の応答として正確に表すためには、かなり多数の粘弾性要素を必要とする。<sup>(11),(12)</sup> R.A. Schapery<sup>(9)</sup>が提案した粘弾性変形の指数関数的減衰の性質を利用した Prony の級数展開による指数関数表示は、多数の粘弾性要素の合成を一般化したものであるという物理的意味を有するほか、係数を応力歪関係の実験結果に合うように必要個数を定められることと、Laplace変換しやすいためであることも利点の一つとなっている。

一方数値Laplace逆変換については、Widderが提案した一般反転公式<sup>(13)</sup>の応用として Alfrey, ter Haar, Schapery の簡単な近似式<sup>(9)</sup>が提案されてきているほか、最小自乗原理に基づく近似逆変換法<sup>(14)</sup>や Legendre の多項式を用いて解を直交多項式によって表現する方法<sup>(15)</sup>、Taylor 展開<sup>(16)</sup>の手法を応用する手法<sup>(17)</sup>なども研究されている。

本論文では高次元型の有限 Fourier 変換である有限 Fourier 定積分変換を三次元構造体としての粘弾性平板の解析に適用することを目的とするため、有限要素法解析法により構造を定式化する。また時間に関しては Laplace 変換を用い、その逆変換には最小自乗原理に基づく Schapery の数値逆変換を用いる。対応原理による弾性解析では 701 系 4 の長軸方向には有限 Fourier 変換、702 系 4 の短軸方向には有限 Fourier 定積分変換を用いる。

2. 粘弾性 701 系 4 要素の関係式

応力と歪の履歴積分による表示は一般に緩和弾性率を用いて、本体歪と偏差歪による二次変形に表わされる。

$$\sigma_{rr}(t) = 3 \int_0^t K(t-\tau) \frac{d\varepsilon_{rr}(\tau)}{d\tau} d\tau \quad \dots (1), \quad \sigma_{ij}(t) = 2 \int_0^t G(t-\tau) \frac{d\varepsilon_{ij}(\tau)}{d\tau} d\tau \quad \dots (2)$$

Laplace 変換  $\mathcal{L}_s[f(t)] = \int_0^t f(t) e^{-st} dt$  を記号  $f^*(s)$  を用いて表示することをすると、式は Faltung 定理より

$$\sigma_{rr}^*(s) = 3 s K^*(s) \cdot \varepsilon_{rr}^*(s) \quad \dots (3), \quad \sigma_{ij}^*(s) = 2 s G^*(s) \cdot \varepsilon_{ij}^*(s) \quad \dots (4)$$

の形に表わされる。ここで  $K(t)$ ,  $G(t)$  は緩和弾性率のそれぞれ本体歪成分、偏差歪成分、 $i, j$  は座標  $x, y, z$  に対応する指標 1, 2, 3 をとるものとす。

またこれらの変換した応力と歪の関係を通常に表示に帰して表わされる二次変形に帰す。

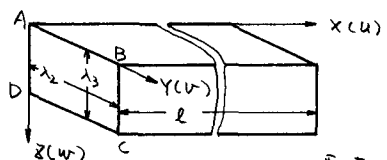


図1 701系4要素

$$\begin{bmatrix} Q_{xx}^* \\ Q_{yy}^* \\ Q_{zz}^* \\ T_{yz}^* \\ T_{zx}^* \\ T_{xy}^* \end{bmatrix} = \begin{bmatrix} K^* + \frac{4}{3}G^* & K^* - \frac{2}{3}G^* & K^* - \frac{2}{3}G^* & 0 & 0 & 0 \\ & K^* + \frac{4}{3}G^* & K^* - \frac{2}{3}G^* & 0 & 0 & 0 \\ & & K^* + \frac{4}{3}G^* & 0 & 0 & 0 \\ & & & G^* & 0 & 0 \\ & & & & G^* & 0 \\ & & & & & G^* \end{bmatrix} \begin{bmatrix} \epsilon_x^* \\ \epsilon_y^* \\ \epsilon_z^* \\ \gamma_{yz}^* \\ \gamma_{zx}^* \\ \gamma_{xy}^* \end{bmatrix} \quad \dots (5)$$

SYM.

一、応力 \$\sigma\$ の関係式、応力 \$F\$ と変位 \$u\$ の関係式は一般三次元弾性論と同じ式<sup>15)</sup>を用いて表示し、代入する。また、図1の \$x\$ 方向の \$F\$ の要素について考える。\$x\$ 方向の各変位を \$F\$ の \$x\$ 方向の節長間直線に変化する仮定した式を表現し、Galerkin 法により積分し、粘弾性 \$F\$ の \$x\$ 方向の要素に関する次の \$F\$ の関係式を得る。これを表す。

$$\begin{bmatrix} \bar{T}_A^* \\ \bar{T}_B^* \\ \bar{T}_C^* \\ \bar{T}_D^* \end{bmatrix} = \begin{bmatrix} 4C_1 - 2C_2 - 2C_3 & 2C_1 + 2C_2 - C_3 & C_1 + C_2 + C_3 & 2C_1 - C_2 - 2C_3 \\ 2C_1 - 2C_2 - C_3 & 4C_1 - 2C_2 - 2C_3 & 2C_1 - C_2 + 2C_3 & C_1 + C_2 + C_3 \\ C_1 + C_2 + C_3 & 2C_1 - C_2 + 2C_3 & 4C_1 - 2C_2 - 2C_3 & 2C_1 + 2C_2 + C_3 \\ 2C_1 - C_2 + 2C_3 & C_1 + C_2 + C_3 & 2C_1 + 2C_2 - C_3 & 4C_1 - 2C_2 - 2C_3 \end{bmatrix} \begin{bmatrix} u_A^* \\ u_B^* \\ u_C^* \\ u_D^* \end{bmatrix}$$

$$+ \frac{\lambda_3}{12} \begin{bmatrix} -2(\lambda^* - \mu^*) & 2(\mu^* + \lambda^*) & \lambda^* + \mu^* & -(\lambda^* - \mu^*) \\ -2(\lambda^* + \mu^*) & 2(\lambda^* \mu^*) & \lambda^* - \mu^* & -(\lambda^* + \mu^*) \\ -(\lambda^* + \mu^*) & \lambda^* - \mu^* & 2(\lambda^* - \mu^*) & -2(\lambda^* + \mu^*) \\ -(\lambda^* - \mu^*) & \lambda^* + \mu^* & 2(\lambda^* + \mu^*) & -2(\lambda^* - \mu^*) \end{bmatrix} \begin{bmatrix} v_A^* \\ v_B^* \\ v_C^* \\ v_D^* \end{bmatrix} + \frac{\lambda_2}{12} \begin{bmatrix} -2(\lambda^* - \mu^*) & -(\lambda^* - \mu^*) & \lambda^* + \mu^* & 2(\lambda^* + \mu^*) \\ -(\lambda^* - \mu^*) & -2(\lambda^* - \mu^*) & 2(\lambda^* + \mu^*) & \lambda^* + \mu^* \\ -(\lambda^* \mu^*) & -2(\lambda^* + \mu^*) & 2(\lambda^* - \mu^*) & \lambda^* - \mu^* \\ -2(\lambda^* + \mu^*) & -(\lambda^* + \mu^*) & \lambda^* - \mu^* & 2(\lambda^* - \mu^*) \end{bmatrix} \begin{bmatrix} w_A^* \\ w_B^* \\ w_C^* \\ w_D^* \end{bmatrix} \quad \dots (6)$$

$$\begin{bmatrix} Y_A^* \\ Y_B^* \\ Y_C^* \\ Y_D^* \end{bmatrix} = \begin{bmatrix} 4d_1 + 2d_2 - 2d_3 & 2d_1 + 2d_2 - d_3 & d_1 + d_2 + d_3 & 2d_1 - d_2 + 2d_3 \\ 2d_1 + 2d_2 - d_3 & 4d_1 - 2d_2 - 2d_3 & 2d_1 - d_2 + 2d_3 & d_1 + d_2 + d_3 \\ d_1 + d_2 + d_3 & 2d_1 - d_2 + 2d_3 & 4d_1 - 2d_2 - 2d_3 & 2d_1 + d_2 + d_3 \\ 2d_1 - d_2 + 2d_3 & d_1 + d_2 + d_3 & 2d_1 + 2d_2 - d_3 & 4d_1 - 2d_2 - 2d_3 \end{bmatrix} \begin{bmatrix} u_A^* \\ u_B^* \\ u_C^* \\ u_D^* \end{bmatrix}$$

$$+ \frac{\lambda_3}{12} \begin{bmatrix} -2d_4 & 2d_4 & d_4 & d_5 \\ 2d_5 & -2d_5 & -d_5 & -d_4 \\ -d_4 & -d_5 & -2d_5 & 2d_4 \\ d_5 & d_4 & 2d_4 & 2d_5 \end{bmatrix} \begin{bmatrix} u_A^* \\ u_B^* \\ u_C^* \\ u_D^* \end{bmatrix} + \frac{1}{4} \begin{bmatrix} -d_4 & -d_5 & d_4 & d_5 \\ d_5 & d_4 & -d_5 & -d_4 \\ d_4 & d_5 & -d_4 & -d_5 \\ -d_5 & -d_4 & d_5 & d_4 \end{bmatrix} \begin{bmatrix} w_A^* \\ w_B^* \\ w_C^* \\ w_D^* \end{bmatrix} \quad \dots (7)$$

\$d\_4 = \lambda^\* + \mu^\*\$,  
\$d\_5 = \lambda^\* - \mu^\*\$

$$\begin{bmatrix} Z_A^* \\ Z_B^* \\ Z_C^* \\ Z_D^* \end{bmatrix} = \begin{bmatrix} 4e_1 + 2e_2 - e_3 & 2e_1 + 2e_2 - e_3 & e_1 + e_2 + e_3 & 2e_1 - e_2 + 2e_3 \\ 2e_1 + 2e_2 - e_3 & 4e_1 - 2e_2 - 2e_3 & 2e_1 - e_2 + 2e_3 & e_1 + e_2 + e_3 \\ e_1 + e_2 + e_3 & 2e_1 - e_2 + 2e_3 & 4e_1 - 2e_2 - 2e_3 & 2e_1 + e_2 + e_3 \\ 2e_1 - e_2 + 2e_3 & e_1 + e_2 + e_3 & 2e_1 + 2e_2 - e_3 & 4e_1 - 2e_2 - 2e_3 \end{bmatrix} \begin{bmatrix} w_A^* \\ w_B^* \\ w_C^* \\ w_D^* \end{bmatrix}$$

$$+ \frac{\lambda_2}{12} \begin{bmatrix} -2d_4 & 2d_4 & d_4 & d_5 \\ 2d_5 & -2d_5 & -d_5 & -d_4 \\ -d_4 & -d_5 & -2d_5 & 2d_4 \\ d_5 & d_4 & 2d_4 & 2d_5 \end{bmatrix} \begin{bmatrix} u_A^* \\ u_B^* \\ u_C^* \\ u_D^* \end{bmatrix} + \frac{1}{4} \begin{bmatrix} -d_4 & -d_5 & d_4 & d_5 \\ d_5 & d_4 & -d_5 & -d_4 \\ d_4 & d_5 & -d_4 & -d_5 \\ -d_5 & -d_4 & d_5 & d_4 \end{bmatrix} \begin{bmatrix} w_A^* \\ w_B^* \\ w_C^* \\ w_D^* \end{bmatrix} \quad \dots (8)$$

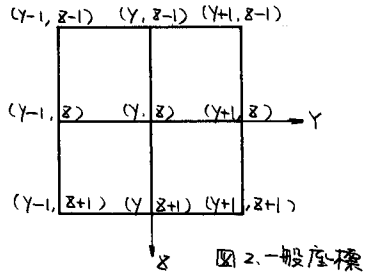
\$\epsilon = \epsilon^0\$ \$C\_1 = \frac{(2\mu^\* + \lambda^\*)\lambda\_2\lambda\_3}{36}\$, \$C\_2 = \frac{\mu^\*\lambda\_3}{6\lambda\_2 D\_x}\$, \$C\_3 = \frac{\mu^\*\lambda\_2}{6\lambda\_3 D\_x}\$, \$d\_1 = \frac{\mu^\*\lambda\_2\lambda\_3 D\_x^2}{36}\$, \$d\_2 = \frac{(2\mu^\* + \lambda^\*)\lambda\_3}{6\lambda\_2}\$,

\$d\_3 = \frac{\mu^\*\lambda\_2}{6\lambda\_3}\$, \$e\_1 = \frac{\mu^\*\lambda\_2\lambda\_3 D\_x^2}{36}\$, \$e\_2 = \frac{(2\mu^\* + \lambda^\*)\lambda\_2}{6\lambda\_3}\$, \$e\_3 = \frac{\mu^\*\lambda\_3}{6\lambda\_2}\$, \$D\_x = \frac{q}{dx}\$, \$\dot{f} = \frac{df}{dx}\$, \$\bar{f} = \int f dx\$,

\$\mu^\* = G^\*\$, \$\lambda^\* = K^\* - \frac{2}{3}G^\*\$,

### 3. 解析理論.

図2の3層一般座標に於て、 $\sum T_{y2} = 0$ ,  $\sum Y_{y2} = 0$ ,  $\sum Z_{y2} = 0$  の3方向の移動線のつりあいをとれば、次式が成り立つ。



この場合、物体の慣性モーメントは無視する。

$$[L] \{U\}^T = \{0\} \quad \text{右に} \quad \{U\}^T = \{u_{y2}^*, v_{y2}^*, w_{y2}^*\}$$

[L] は  $3 \times 3$  のマトリクスで、その内容は次の通りである。

$$L_{11} = \frac{(2\lambda_1^* + \lambda_2^*) \lambda_2 \lambda_3 D_x^2}{36} (\Delta_y^2 + 6) (\Delta_z^2 + 6) + \frac{M^* \lambda_3}{6\lambda_2} \Delta_y^2 (\Delta_z^2 + 6) + \frac{M^* \lambda_2}{6\lambda_3} \Delta_z^2 (\Delta_y^2 + 6),$$

$$L_{12} = \frac{(M^* + \lambda_1^*)}{12} \lambda_3 \Delta_y (\Delta_z^2 + 6) D_x,$$

$$L_{13} = \frac{(M^* + \lambda_1^*) \lambda_2}{12} \Delta_z (\Delta_y^2 + 6) D_x,$$

$$L_{22} = \frac{M^* \lambda_2 \lambda_3 D_x^2}{36} (\Delta_y^2 + 6) (\Delta_z^2 + 6) + \frac{(2M^* + \lambda_1^*) \lambda_3}{6\lambda_2} \Delta_y^2 (\Delta_z^2 + 6) + \frac{M^* \lambda_2}{6\lambda_3} \Delta_z^2 (\Delta_y^2 + 6),$$

$$L_{21} = \frac{(M^* + \lambda_1^*) \lambda_3}{12} D_x \Delta_y (\Delta_z^2 + 6),$$

$$L_{23} = \frac{M^* + \lambda_1^*}{4} \Delta_y \Delta_z, \quad L_{33} = \frac{M^* \lambda_2 \lambda_3 D_x^2}{36} (\Delta_y^2 + 6) (\Delta_z^2 + 6) + \frac{(2M^* + \lambda_1^*) \lambda_2}{6\lambda_3} \Delta_z^2 (\Delta_y^2 + 6) + \frac{M^* \lambda_3}{6\lambda_2} \Delta_y^2 (\Delta_z^2 + 6)$$

$$+ \frac{(2M^* + \lambda_1^*) \lambda_2}{6\lambda_3} \Delta_z^2 (\Delta_y^2 + 6) + \frac{M^* \lambda_3}{6\lambda_2} \Delta_y^2 (\Delta_z^2 + 6)$$

$$\text{右に} \quad \Delta^2 f(x) = f(x+1) - 2f(x) + f(x-1), \quad \Delta f(x) = f(x+1) - f(x).$$

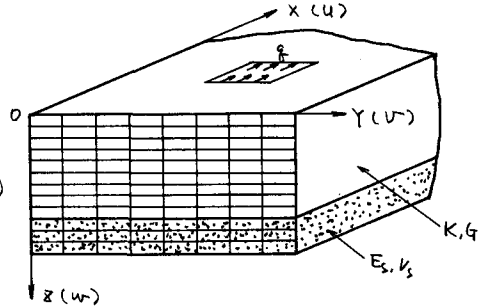


図3. 積層平板構造

一、境界条件として、図3の3層積層構造を考えたときの境界条件式として、次式が得られる。

$$\text{表面}(z=0) \text{に於て: } T(Y, Y+1) + T(Y, Y-1) = -Q(Y) \quad (10), \quad Y(Y, Y+1) + Y(Y, Y-1) = 0 \quad (11)$$

$$Z(Y, Y+1) + Z(Y, Y-1) = -P(Y) \quad (12), \quad \text{右に} \quad Q \text{ は剪断力, } P \text{ は垂直荷重.}$$

$$\text{境界面}(z=s) \text{に於て: } T(Y, Y+1) + T(Y, Y-1) + T(Y, Y+1) + T(Y, Y-1) = 0 \quad (13)$$

$$Y(Y, Y+1) + Y(Y, Y-1) + Y(Y, Y+1) + Y(Y, Y-1) = 0 \quad (14), \quad Z(Y, Y+1) + Z(Y, Y-1) + Z(Y, Y+1) + Z(Y, Y-1) = 0 \quad (15)$$

境界面(下面,  $z=s+1$  に於て):

$$T(Y, Y+1) + T(Y, Y-1) = 0 \quad (16), \quad Y(Y, Y+1) + Y(Y, Y-1) = 0 \quad (17), \quad Z(Y, Y+1) + Z(Y, Y-1) = 0 \quad (18)$$

また下層の  $z=s$ ,  $z=s+1$  面に於ては (9) 式の緩和弾性率、要素の厚さを下層の値に置換したと見做して得られる。また分割 A 中は可変等間隔とする。

### 4. 解法.

以上の式より、2 表観された (9) 及び (10) ~ (18) 式に於て空間座標の x 軸方向には有限差分法による変換、y 及び z 軸方向には有限差分法による変換、右に F(u) との連続変換を用いて解析する。(16), (17)

時間軸に於ては解関数を  $f(t) = A + Bt + \sum_{i=1}^N C_i e^{-t/D_i}$  の形に予想し、 $D_i$  を仮定して、この式を Laplace 変換し、未定係数 A, B,  $C_i$  ( $i=1, \dots, N$ ) の関数 ( $N+2$ ) に相当する数値を 17 の境界条件より  $s$ - $\tau$  平面に於て、仮定式と基本解式の等号を成り、これを連立に解いて、解関数の未知係数を決定する。その結果として  $D_i$  の仮定値にも精度に及ぼす影響を及ぼす。

### 5. 数値計算例.

以上の解法にしたがって図4の構造に於て、次の諸数値の数値計算した結果を図5に示した。理論式による下層板を多分割する式を示した例、= 2 は分割しない構造の数値計算した。

$$\lambda_2 = 20 \text{ cm}, \quad \lambda_3 = 5 \text{ cm}, \quad l = 200 \text{ cm}, \quad C = 10 \text{ cm}, \quad q = 8 \text{ kg/cm}^2, \quad n = r = 8 \text{ 分割},$$

$$E_s = 2.1 \times 10^6 \text{ kg/cm}^2, \quad H_k = 1.094 \times 10^5 \text{ kg/cm}^2, \quad H_g = 0.89 \times 10^5 \text{ kg/cm}^2, \quad \nu_s = 0.3, \quad K_0 = H_k,$$

$$K_1 = 0.5 H_k, \quad K_2 = 0.4 H_k, \quad K_3 = 0.3, \quad G_0 = H_g, \quad G_1 = 0.5 H_g, \quad G_2 = 0.4 H_g, \quad G_3 = 0.3 H_g$$

$$K(t) = K_0 + \sum_{n=1}^3 K_n e^{-t/T_{K_n}}$$

$$G(t) = G_0 + \sum_{n=1}^3 G_n e^{-t/T_{G_n}}$$

$T_{K_1} = 3^{\text{日}}, T_{K_2} = 4^{\text{日}},$   
 $T_{K_3} = 5^{\text{日}}, T_{G_1} = 3^{\text{日}},$   
 $T_{G_2} = 4^{\text{日}}, T_{G_3} = 5^{\text{日}},$   
 $S_j = 0.006, 0.002,$   
 $0.01, 0.04, 0.08,$   
 $0.20, 0.6, 1.0, 4.0$   
 $, 8.0 \times 10^4 \text{ 個},$   
 $D_j = 1, 2, 3, 4,$   
 $5, 6, 7, 8 \times 10^4 \text{ 個}.$   
 級数 20 項。周辺単

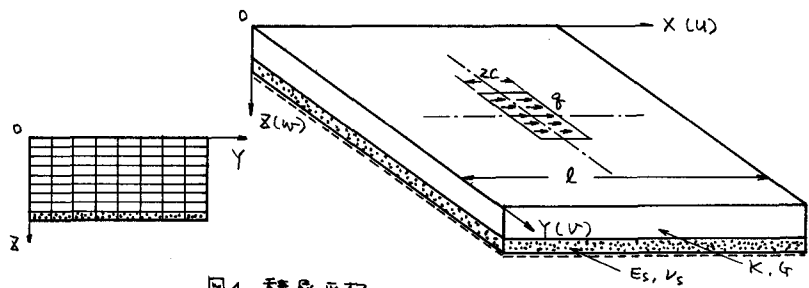


図4. 積層平板

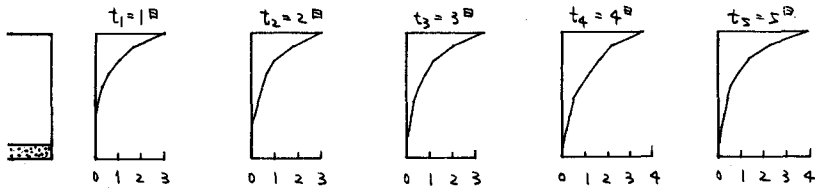


図5. 平板中央の X 方向変位の時間経過

(乗数  $10^{-3}$ , 単位, cm)

級数 20 項。周辺単  
 純支持。

6. 再考

本論に取用した層状の平板構造は、厚さの方向に非対称変形を呈し、一般の薄板理論とは、中立軸の位置に大なる乖離をきたす。三次元解析の意義も亦。また粘弾性層と弾性層の互層を有する平板構造は強制振動を有する場合、粘弾性層の減衰効果は大なり、最近この方面の研究も文献に見ゆ<sup>13)</sup>。この数値計算の経済性の面を考慮して、本論文の数値計算では 66 K<sup>00</sup> (TRC-20 FACOM 230-60/75, M-III) の記憶容量を必要とし、分別の細化も、その精度を要するに、66 K<sup>00</sup> の記憶容量を必要とし、7007<sup>00</sup> 4 K にも別々の制約を課せざるべし、実用的には、この工夫を必要とせざるを得ない。

参考文献

- 1) 宇佐美梅：線形粘弾性理論の最近の進歩，日本機械学会誌，第64巻，第513号，1961.
- 2) 岡尾武，M.L. Williams：粘弾性体の力学の挙動，同上，第68巻，第552号，1965.
- 3) 赤木知之，大野大用，色部誠：有限要素法によるPC容器の粘弾性解析，土木学会論文報告集，第214号，1973.
- 4) 塚井健一郎，川原登人：有限要素法による粘弾性体の解析法，同上，第179号，1970.
- 5) E.H. Lee：Stress Analysis in Visco-elastic Bodies, Quarterly of Applied Mathematics, vol. 13, 1955.
- 6) R. Muki, E. Sternberg：On Transient Thermal Stress in Viscoelastic Materials with Temperature-Dependent Properties, Journal of Applied Mechanics, ASME, 1961.
- 7) E.H. Lee, T.G. Rogers：Solution of Viscoelastic Stress Analysis Problems Using Measured Creep or Relaxation Functions, 同上，同上，1963.
- 8) R.A. Schapery：Approximate Methods of Transform Inversion for V-E Stress Analysis, Proceedings of the Forth U.S. National Congress of Applied Mechanics, 1961.
- 9) T.L. Cost：Approximate Laplace Transform Inversions in Viscoelastic Stress Analysis, AIAA. Journal, Vol. 2, No.12, 1964.

- 10) 田中豊喜: 有限要素法による線形粘弾性体の応力解析, 日本鋼構造協会第3回大会  
研究集巻, 214-472 構造解析講演論文集, 1969.
- 11) 山田嘉昭: 214-472 法材料力学, 塑性粘弾性, 日本鋼構造協会編, 培風館.
- 12) W. 712-474: 粘弾性学, 固体力学24-27, 培風館, 1973.
- 13) Y. V. K. Sadasiva Rao, B. C. Nacra: Vibrations of Unsymmetrical Sandwich Beams and Plates with Viscoelastic Cores, Journal of Sound and Vibration, 1974. 39. 3.
- 14) A. Papoulis: A New Method of Inversion of the Laplace Transform, Quarterly of Applied Mathematics, 14, 1957.
- 15) Timoshenko; Goodier: Theory of Elasticity, McGraw-Hill, 1970
- 16) 能町純雄・大島俊之: 弾性層と粘弾性層とからなる2層板構造の有限要素法による粘弾性解析. 第27回応用力学連合講演会講演論文抄録集, 1977.
- 17) 大島俊之・能町純雄: 鋪板を考慮した鋼板の有限要素法による三次元粘弾性解析, 土木学会第32回年次学術講演会講演概要集, 1977. 工部.